

تولید کیموزین کامل و پردازش یافته نوترکیب در *E-coli* و ارزیابی میزان بیان پریپلاسمایی و فعالیت آنزیمی آنها

میثم احمدی زیدآبادی^۱ (M.Sc)، غلامرضا احمدیان^{۲*} (Ph.D)، رحیم سروی^۳ (Ph.D)

۱ - دانشگاه امام حسین (ع)، تهران

۲ - پژوهشگاه ملی مهندسی ژنتیک، تهران

۳ - دانشگاه علوم پزشکی زنجان

چکیده

سابقه و هدف: تا سال ۱۹۹۰، رنت (پروتئازهایی که باعث لخته شدن شیر و تولید پنیر می‌شوند) با روش قدیمی از شیردان گوساله‌های شیرخوار، یا از منابع گیاهی و یا میکروبی تهیه می‌گردید. در این سال اداره غذا و داروی آمریکا اجازه تولید و مصرف کیموزین گاوی نوترکیب تولید شده باکتری‌ها را صادر کرد. امروزه بیش از ۹۰ درصد پنیر مصرفی در انگلستان از کیموزین نوترکیب تولید می‌شود. این تحقیق به منظور قطع وابستگی کشور به مایه پنیر وارداتی، بررسی بیان و عمل کرد فرم اسپلایس یافته ژن کیموزین (فرم فاقد اگزون^۶) به منظور بدست آوردن آنزیم کوچک‌تر و فعال‌تر همچنین بررسی عمل کرد سیگنال pelB در هدایت پروتئین به فضای پریپلاسم باکتری *E-coli* انجام گردید.

مواد و روش‌ها: با استخراج mRNA از لایه پوششی معده گوساله و انجام RT-PCR دو فرم از پرپروکیموزین (فرم پردازش یافته فاقد اگزون^۶ و فرم کامل پرپروکیموزین) بدست آمد. سپس با طراحی پرایمرهای مناسب هر دو فرم پروکیموزین در وکتور بیانی pET26b کلون گردید. بیان با وسترن بلاست تأیید گردید و عمل کرد آن‌ها بررسی شد.

یافته‌ها: هر دو فرم ژن پروکیموزین در وکتور pET26b تولید گردیدند. میزان تولید فرم پردازش یافته ۷ برابر فرم کامل بود. هر دو فرم پروکیموزین باعث رسوب پروتئین‌های شیر شدند.

نتیجه‌گیری: از آنجا که فرم پردازش یافته و کامل پروکیموزین بعد از شوک اسمزی در فضای پریپلاسمی مشاهده نشدند. بنابراین سیگنال pelB قادر به هدایت هیچ یک از آن دو به فضای پریپلاسم نیست. بنابراین بایستی سیگنال جدیدی طراحی گردد.

واژه‌های کلیدی: کیموزین پردازش یافته، اسپارتیک پروتئاز، سیگنال pelB، پروتئینازهای شبه رنتم

پروتئین‌های شیر و تولید لخته هستند اما این خاصیت به تنها بی جهت کاربرد آنزیم پروتئاز در پنیرسازی کافی نیست. یک مایه پنیر خوب باید به سادگی در آب حل شود، فاقد طعم نامطلوب باشد و قدرت لخته کنندگی بالا داشته باشد. اما پروتئاز اسیدی حاصل از منابع گیاهی و باکتریایی به دلیل فعالیت پروتولیتیکی بالا و ایجاد تلخی در پنیر مفید نیست. در

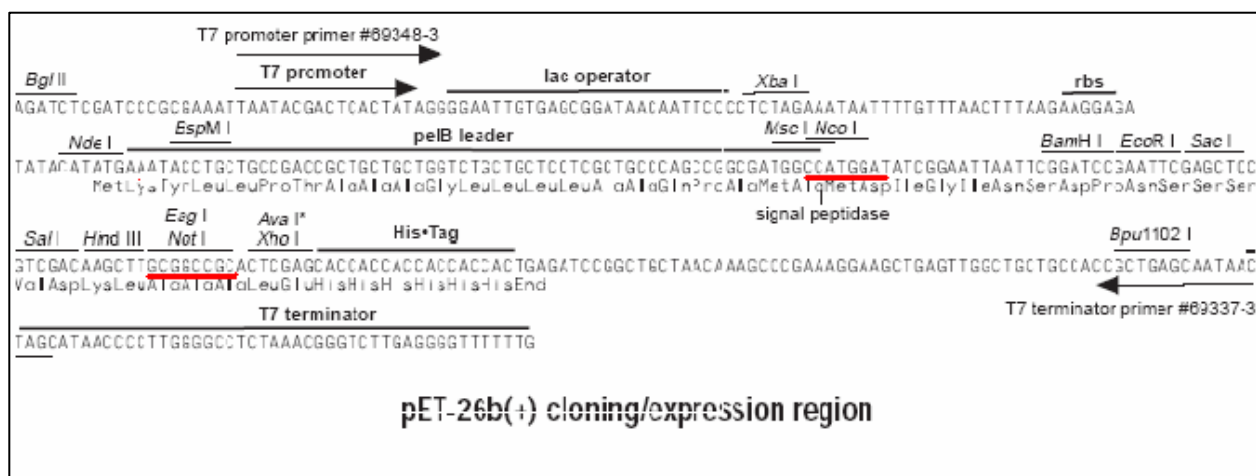
مقدمه

کیموزین جزئی از آسپارتیک پروتئازهای معدی است که همراه با پیسین و گاسترین می‌باشد. مولکول کاپاکازین شیر توسط آنزیم کیموزین در پیوند بین اسید آمینه فنیل آلانین ۱۰۵ و متیونین ۱۰۶ شکسته می‌شود. و باعث لخته شیر می‌شود [۱]. در واقع تعداد زیادی از پروتئازها قادر به تجزیه

تولید شده‌اند نشان می‌دهد که این mRNA ها دارای حداقل ۷ فرم متفاوت هستند که از ۱ تا ۴ اگزون از طریق پردازش حذف شده است. در نتیجه مولکول‌های mRNA می‌تواند شده‌اند که ۹۹-۱۱۴-۲۱۳-۲۳۷-۳۵۱ و ۴۰-۳۵۱ نوکلئوتید از فرم کامل کوچک‌تر هستند، و در بانک ژنی با شماره‌های AF ۴۲۱۱۶۱ الی AF ۴۲۱۱۶۷ موجود می‌باشد. مولکول کیموزین دارای دو جایگاه فعال شامل آسپارتیک اسید در توالی ۳۶ و ۲۱۶ می‌باشد. فرم ۴ تا ۷ که به ترتیب حذف در اگزون‌های ۳ و ۴ آنها رخ داده است فاقد آسپارتیک ۳۶ می‌باشدند همچنین این فرم‌ها فاقد ترئونین ۳۵ و سرین ۳۶ و گلایسین ۳۷ هستند که مسئول ایجاد باندهای هیدروژنی و تشکیل ساختار هستند. در حالی که فرم‌های ۱ تا ۳ با وجود حذف در اگزون‌های ۶ و ۸ حذف مناطق فعال و پیوندهای هیدروژنی را در بر نمی‌گیرند و این می‌تواند برای بررسی میزان فعالیت مناسب باشد. از این رو فرم فاقد اگزون ۶ که ۱۱۴ نوکلئوتید کوچک‌تر از فرم کامل است برای بررسی میزان فعالیت انتخاب گردید و عملیات کلونینگ و بیان روی آن انجام گرفت. چون حذف در اگزون ۶ در مناطق فعال نمی‌باشد احتمالاً با کوچک شدن پروتئین تولید آن افزایش می‌یابد [۸ و ۹] در این کار تحقیقی به منظور بررسی توانایی *E.coli* BL21 در بیان دو فرم کامل و فاقد اگزون ۶ زن پروکیموزین ابتدا mRNA زن پروکیموزین از معده چهارم گوساله بدست آمد و با RT-PCR، cDNA مربوط به زن کامل و فرم فاقد اگزون ۶ تهیه شد و زن‌ها وارد پلاسمید pET-26 Pet-26 شدند به نحوی

حال حاضر در ایران اکثر صنایع پنیرسازی از رنن قارچی وارداتی جهت تولید پنیر استفاده می‌کنند. بنابراین لازم است محققین و پژوهشگران ایرانی در جهت تأمین این نیاز ضروری اقدام نمایند. پرپوکیموزین گاوی دارای ۳۸۱ اسید آمینه است. ۱۶ اسید آمینه اول این پروتئین نقش سیگنال آب‌گریز را دارد و هنگام ترشح به فضای معده از پروتئین جدا می‌شود. و پروکیموزین با ۳۶۵ اسید آمینه تولید می‌شود [۲ و ۳]. این پروتئین تحت تاثیر pH معدی دچار تغییراتی می‌گردد و به صورت خودبخودی فعال می‌شود [۴ و ۵] در این حالت ۴۲ اسید آمینه از انتهای آمینی آن جدا می‌شود و یک زنجیره پروتئینی با ۲۲۳ اسید آمینه تولید می‌گردد [۶ و ۷]. در سال ۱۹۸۴ Marston در استفاده از *E.coli* k-12 در بردارنده پلازمید pCT70 حامل زن پروکیموزین کامل، پروتئین مذکور را به میزان ۱-۵ درصد پروتئین کلی سلول تولید کنند. Chitpintyol و همکارانش نیز در سال ۱۹۹۷، با استفاده از سلول‌های *E.coli* BL21 دارای پلازمید pET-PC حامل زن پروکیموزین کامل، پروکیموزین را تا حدود ۳۰ درصد پروتئین کلی سلول تولید کردند. شکل‌های پردازش یافته مختلف mRNA پروکیموزین گاوی در سال ۱۹۸۲ توسط Moir و در سال ۲۰۰۲ توسط Zinovieva و همکارانش گزارش شده‌اند، اما هیچ توضیحی در مورد اهمیت بیولوژیکی ایزوفرم‌های مختلف ارائه نگردید.

بررسی RNA های پیامبر که از روی زن پروکیموزین



شکل ۱. مکان قرار گرفتن زن پروکیموزین در مکان برش *NotI* و *NotI*

RABBIT ANTI MOUSE HRP TAG و به طور اختصاصی ۶ هیستیدین که پشت سر هم قرار گرفته‌اند را شناسایی می‌کند.

سویه‌های باکتریایی: سویه مورد استفاده جهت سلول‌های سازگار *E.coli*, Bl21DE3، بوده که در بیان مورد استفاده قرار گرفت.

[F-,ompT,hsdSB(rB-mB-gal(cI857,indl,sam,nin5 lacuv5-T7genel),dcm(DE3)]
سویه مورد استفاده، در کلونسازی Top 10 و DH5α بوده‌اند.

F', Φ80 d lacZ Δ15, endAl, yecAl, hsd R17(rk⁻, mk⁺)
پلاسمیدها: وکتورهای بیانی pET-26b (+) از شرکت Novagene خریداری شدند.

جهت بیان از سیستم T7 پروموتر استفاده شد که بر روی وکتورهای pET قرار دارد که جهت القاء از IPTG تهیه شده از شرکت Fermentas استفاده شد.

محیط‌های کشت و آنتی‌بیوتیک‌ها: از محیط‌های LB و Brath Agar حاوی ۳۰ میکروگرم بر میلی‌لیتر آنتی‌بیوتیک جهت کلونینگ استفاده گردید و برای بیان ژن مورد نظر محیط‌های مختلف LB و Brath مورد بررسی قرار گرفت. آمپی‌سیلین و کاناامایسین مورد استفاده به عنوان آنتی‌بیوتیک از شرکت سیگما خریداری شد.

پرایمرها: پرایمرهای فرادست و فرودست پس از طراحی و آنالیز کامپیوتروی جهت سنتز به شرکت سیناژن سفارش داده شد.

: (Forward) پرایمر بالا دست با توالی

5' GGGGGCCATGGCTGAGATCACCAG 3'
NCOI

پرایمر پائین دست با توالی (Revers):

5' GGGCAGCCCGATGGCTTGCCAGC 3'
Not I

تفاوت فرم کوچک پروکیموزین با فرم کامل آن در حذف اگزون ۶ می‌باشد و چون این اگزون در داخل ژن می‌باشد در نتیجه ابتدا و انتهای هر دو ژن یکسان می‌باشد. بنابراین

که توالی پلی‌هیستیدین در انتهای کربوکسیلی و سیگنال pelB در ابتدای آمینی آن قرار گرفت و سپس وکتور بیانی وارد شد. به منظور سهولت تخلیص، برچسب هیستیدینی به انتهای هر دو فرم پروتئین فیوز شد. این برچسب امکان تخلیص فیوژن پروتئین را بوسیله ستون Ni فراهم می‌آورد. به منظور ترشح پروتئین به فضای پری پلاسمی از سیگنال pelB محل سیگنال آب‌گریز پروتئین استفاده گردید.

مواد و روش‌ها

مواد مورد استفاده: آنزیم‌های محدود گر NcoI و NotI متعلق به شرکت سیناژن بود. آنزیم T4 DNA Ligase از شرکت Roche و آنزیم‌های تکثیر دهنده DNA Polymerase و آنزیم Fermentase از شرکت DNA Polymerase Pfu و بر اساس برشور شرکت مورد استفاده قرار گرفت. کیت تخلیص DNA پلاسمیدی و کیت استخراج و تخلیص DNA از شرکت Roche خریداری شد.

مواد از قبیل dNTP, EDTA, Trisbase, Rnase, MgCl₂, یدروکسید آمونیم، اسیداستیک گلاسیال، هیدروکسید سدیم، کلروفرم، فنل، اسید بوریک، اتیدیوم بروماید، لیزوژیم، ۲-مرکاپتوتانول، پودر آگارز، ژل melting low از شرکت سیناژن تهیه شدند. همچنین مواد مورد استفاده در تکنیک‌های western blotting, SDS-PAGE شدنند.

DNA marker های استفاده شده در این آزمایشات و bp DNA ladder Plus SM0321#100 DNA ۱۰۰ و LambdaDNA/EcoR1+Hind111#SM0191 SDS ladder#SM0241 بودند. همچنین جهت تکنیک PAGE از مارکر خریداری شده از شرکت Fermentas استفاده شد.

از آنتی‌بادی منوکلونال ضد‌هیستیدین به عنوان آنتی‌بادی اختصاصی جهت Western blotting استفاده شد این آنتی‌بادی از نوع دو مرحله‌ای و شامل ANTI HISTIDIN

روش دنا توره و غیر دنا توره تخلیص می کنند. در روش دنا توره پروتئین ها بوسیله اوره ۸ مولار یا گوانیدیوم هیدروکلراید ۶ مولار دنا توره شده و از ستون تخلیص عبور داده می شوند.

روش دنا توره زمانی بکار می رود که به دلیل ساختار فضایی پروتئین بر چسب هیستیدینی در سطح پروتئین نباشد. در این حالت پس از مرحله تخلیص باید پروتئین مجدد □ تا زده شود تا کارایی لازم را بدست آورد. استفاده از روش دنا توره با محدودیتهایی همراه است. زیرا در بعضی موارد تا زدن دوباره پروتئین مشکلاتی را به همراه دارد.

روش غیر دنا توره که در این تحقیق استفاده شد زمانی بکار می رود که بر چسب هیستیدینی در حالت تاخورده پروتئین در معرض باشد. در پژوهش حاضر بر چسب

هیستیدینی به انتهای (کربوکسیل) پروتئین متصل شد.

با استفاده از ستون نیکل که از کمپانی کیاژن خریداری شده بود (The QIAexpressionistTM)^۱ پروتئین ۱۰۰٪ خالص نمی شود. زیرا سلول پروتئین های غنی از هیستیدین دارد که بطور غیر اختصاصی به ستون متصل می شوند. پیمایش تراکم سنجی ژل رنگ آمیزی شده با کوماسی بلو به منظور بررسی کمی بیان پروتئین نوترکیب، از روش پیمایش ژل رنگ آمیزی شده حاصل از SDS-PAGE توسط دستگاه پیامیشگری pharmacia LKB. Ultrascan XL استفاده گردید.

شوک اسمزی: برای بدست آوردن پروشن های پری پلاسمی لازم است دیواره خارجی باکتری تخریب گردد به این منظور از محلول TES که شامل (سوکروز، EDTA و Tris-HCL) در مقادیر متفاوت آب استفاده گردید و به تدریج مقدار آب افزایش داده شد تا با بررسی حالات متفاوت بهترین غلظت را که تنها باعث خروج پروتئین های پری پلاسمی می شود و سلول را نمی ترکاند به دست بیاید. ۱/۵ میلی لیتری از کشت باکتری نمونه بر درای شده در ۴ درجه سانتی گراد و سرعت ۴۰۰۰ rpm به مدت ۵ دقیقه سانتریفیوژ شده و محیط کشت به طور کامل خارج شد. رسوب باکتری در ۱۵ μl از بافر TES حل شده و به مدت ۲۰ دقیقه با

کلونینگ هر دو فرم پرو کیموزین هم زمان و با استفاده از یک جفت پرایمر انجام گرفت.

جدول ۱. پروتکل PCR

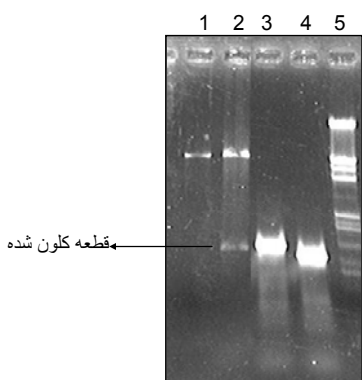
مواد	مقدار
۱۰X PCR بافر	۵ میکرو لیتر
dNTPs Mi 2. 5 mM	۴ میکرو لیتر
Mgso4 50 mM	۳ میکرو لیتر
برایمربالا دست ۱۰ پیکو مول بر میکرو لیتر	۳ میکرو لیتر
برایمرباین دست ۱۰ پیکومول بر میکرو لیتر	۰/۵ میکرو لیتر
آنزیم Pfu DNA پلی مراز	۳ میکرو لیتر
(cDNA) الگو	۰/۵ میکرو لیتر
آب مقتدر (آمپولی)	۲۸/۵ میکرو لیتر
حجم نهایی	۵۰ میکرو لیتر

جدول ۲. نحوه اجرای سیکل های PCR با آنزیم Pfu

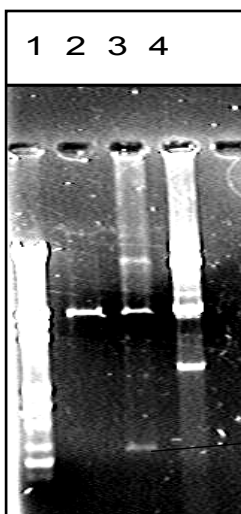
مرحله	درجہ حرارت	زمان (دقیقه)	تعداد سیکل ها
دنا توره کردن اولیه	۹۵	۱۰	۱
دنا توره کردن	۹۵	۱	۳۲
	۴۶	۱	
	۷۲	۱	
انصال			
تکثیر	۷۲	۵	۱
تکثیر نهایی			

کیت استخراج پروتئین: برای بدست آوردن پروتئین های کلون شده از بار مثبت موجود بر رزین نیکل و بار منفی ناشی از وجود ۶ هیستیدین انتهایی که در انتهای ژن ها قرار دارند استفاده گردید. در این روش از washing buffer های با غلاظت ایمیدازول متفاوت استفاده شد و با افزایش مقدار ایمیدازول در ابتدا پروتئین های که به صورت غیر اختصاصی و با نیروی کمی به رزین ها متصل شده اند جدا می شوند. سرانجام در مقدار مشخصی از ایمیدازول پروتئین های تولید شده خارج می گردد. باید توجه داشت که شستشو باید به آهستگی ولی چندین بار انجام شود. چون ممکن است پروتئین های غیر اختصاصی از رزین ها جدا شوند ولی از میان آن ها خارج نشوند. پروتئین های فیوژ شده به بر چسب هیستیدینی را به دو

بررسی بیان پروتئین: باکتری‌های BL21 DE3 ترانسفورم شده (حاوی ژن کیموزین در وکتور (PET) در محیط مایع کشت داده شدند بعد از رسیدن به $OD = 0.6$ برای روشن کردن پرومودر T7 و تولید پروتئین کلون شده IPTG با غلاظت ۱ میلی مولار به محیط اضافه گردید و در زمان‌های ۲۰ و ۸ ساعت پس از القاء نمونه برداری انجام گرفت و میزان بیان پروتئین کیموزین بر روی ژل اکریل آمید بررسی گردید. میزان بیان هر دو فرم پروکیموزین با دستگاه پیماشگر ژل بررسی شد. (شکل ۴)



شکل ۲. (ژل آگارز ۱٪): PCR و برش آنزیمی برای پروکیموزین کامل ۱- وکتور برش خورده. ۲- پلاسمید نوترکیب برش خورده با دو آنزیم PCR ۳- محصول PCR ژن پروکیموزین کامل با آنزیم $NcoI$ ۴- محصول PCR ژن پروکیموزین پردازش یافته با آنزیم $NcoI$ ۵- نشانگر اندازه λ DNA/EcoRI+HindIII.



شکل ۳. (ژل آگارز ۱٪): PCR و برش آنزیمی برای پروکیموزین پردازش یافته ۱- نشانگر اندازه به ترتیب SM0321 # SM0191 # $NotI$ - پلاسمید برش خورده توسط دو آنزیم $NotI$ و $NcoI$ از ژل ۱٪- خروج ژن کیموزین پردازش یافته از پلاسمید نوترکیب برش خورده توسط دو آنزیم $NotI$

تکان‌های متناوب بر روی یخ نگاه داشته شد. سپس با افزودن $22\mu\text{L}$ آب دوبار تقطیر انکوباسیون بر روی یخ به مدت ۳۰ دقیقه ادامه یافت.

به منظور تفکیک پروتئین‌های پری‌پلاسمی، مخلوط سلولی پس از شوک اسمزی، به مدت ۲۰ دقیقه در ۴ درجه سانتی‌گراد 13000 rpm سانتریفیوژ شد. روشنایر حاوی پروتئین‌های پری‌پلاسمی و رسوب حاوی پروتئین‌های اسفوروبلاستی است.

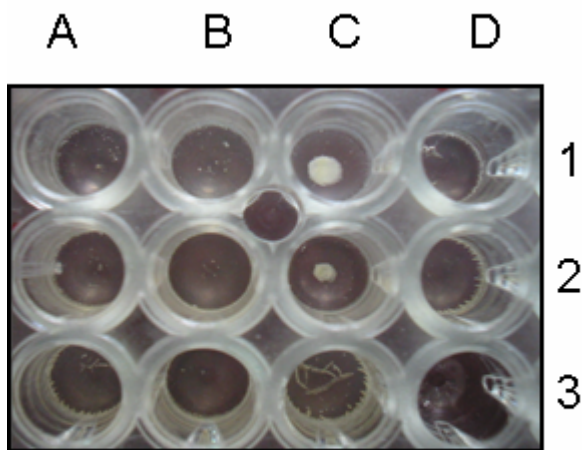
برای فعال سازی هر دو فرم آنزیم کیموزین در $pH=4.5$ قرار گرفتند. پس از ۵ ساعت توسط بافر فسفات ۲۰ برابر رقیق شد تا $pH=7$ رسید و فعال سازی خاتمه یافت. رقت‌های مختلف از هر دو فرم آنزیم به شیر خشک ۱۰ درصد که در بافر فسفات ۵۰ میلی مولار و کلرید کلسیم ۲۵ میلی مولار حل شده بود اضافه گردید و در دمای ۳۷ درجه به مدت ۲ ساعت قرار گرفت [۱۱].

نتایج

بعد از انجام PCR با پرایمرهای طراحی شده عمل هضم آنزیمی با دو آنزیم $NotI$ و I برای قطعات حاصل از PCR و وکتور انجام گرفت. سپس جهت لیجیشن از آنزیم T4 DNA Ligase استفاده گردید در ادامه طی مراحل شوک گرمایی و الکتروبوریشن *E-coli* ترانسفورم گردید و بر روی محیط LB-agar حاوی آنتی‌بیوتیک کانامایسین کشت داده شد. از سلول‌های مستعد بدون ناقل نیز بعنوان کنترل منفی استفاده گردید.

از کلنی‌های رشد یافته انتخاب و در محیط LB-Broth حاوی آنتی‌بیوتیک کشت داده شد. جهت تائید کلونی‌ها واکنش quick check انجام گرفت و پس از تخلیص پلاسمید مراحل بعدی کنترل با هضم آنزیمی و PCR دنبال گردید. (شکل ۲ و ۳) جهت تائید نهایی نیز سفارش سکانسینگ داده شد.

مشاهده می شود با افزایش مقدار آنزیم رسو ب بیشتری مشاهده می گردد و در ردیف ۳ که مقادیر متفاوت از عصاره حاصل از سونیکاسیون باکتری BL21 بدون ژن مورد نظر قرار گرفته رسو بی مشاهده نمی شود که نشان می دهد عمل کرد مربوط به پروتئین کلون شده می باشد. برای مشاهده بهتر بعداز عمل رسو ب گذاری مایع رو بی با استعمال جاذب به آرامی برداشته شد. (شکل ۶).



شکل ۶. بررسی فعالیت هر دو فرم کیموزین

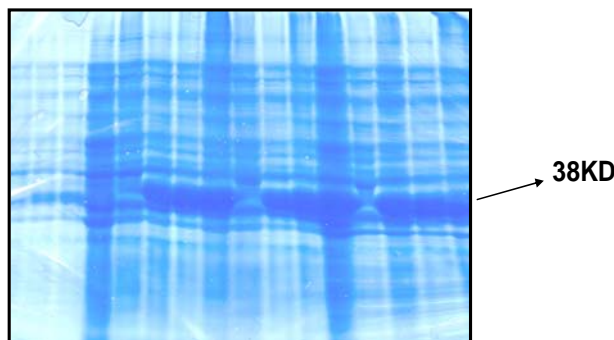
-۱ حاوی ۵۰ و ۲۰۰ میکرولیتر محلول حاوی کیموزین برداش یافته -۲ حاوی شیر a,b,c -۳ حاوی ۵۰ و ۲۰۰ میکرولیتر محلول حاوی کیموزین کامل d حاوی شیر a,b,c -۴ حاوی ۵۰ و ۲۰۰ میکرولیتر محلول حاوی باکتری لیز شده d حاوی شیر

بحث و نتیجه گیری

با وجود تولید پروتئازهای میکروبی و استفاده از آنها در فرایند تولید پنیر، کیموزین دامی هنوز به عنوان بهترین و با ارزش ترین آنزیم لخته کننده در صنایع پنیر سازی از جایگاه ویژه ای برخوردار است و برای ارزیابی و استاندارد کردن سایر پروتئازها مورد استفاده قرار می گیرد. کیموزین به دلیل قابلیت لخته کنندگی بالای پروتئین شیر و فعالیت پروتئازی پائین به عنوان یک پروتئاز اختصاصی برای لخته کردن شیر و تولید پنیر مورد استفاده قرار می گیرد. این آنزیم بر خلاف سایر پروتئازها از رسیدگی بیش از حد پنیر و تلخی آن جلوگیری می کند.

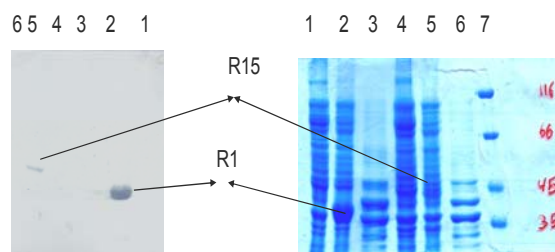
وسترن بلاط: برای اثبات بیان هر دو فرم ژن مورد نظر و بررسی پروتئین های پری پلاسمی از حالت شوک اسمزی و بیان سیتوپلاسمی دو ژل اکریل امید ۱۰ درصد تهیه گردید و یکی را برای وسترن بلاط و دیگری به عنوان شاهد استفاده گردید. (شکل ۵).

1 2 3 4 5 6 7 8 9 10 11 12 13 14 15 16



شکل ۵. (ژل ۱۰٪ SDS-PAGE). بیان ژن کیموزین برداش یافته pET26b برروی وکتور

۱ تا ۴- باکتری همراه با وکتور القاء شده با IPTG ۵ تا ۸- القاء شده با IPTG در زمان های ۰ و ۲ و ۸ و ۱۵ ساعت. ۹ تا ۱۲- القاء شده با IPTG در زمان های ۰ و ۲ و ۸ و ۱۵ ساعت. ۱۳ تا ۱۶- القاء شده با IPTG در زمان های ۰ و ۲ و ۸ و ۱۵ ساعت.



شکل ۶. وسترن بلاطینگ برروی پروتئین های حاصل از بیان ژن کیموزین ۱- کیموزین برداش یافته قبل از القاء ۲- کیموزین پرداش یافته ۱۵ ساعت بعد از IPTG ۳- پروتئین های حاصل از شوک اسمزی ۴- کیموزین کامل قبل از القاء ۵- کیموزین کامل ۱۵ ساعت بعد از IPTG ۶- پروتئین های حاصل از شوک اسمزی ۷- نشان گر اندازه ۱۱۶ KD, 66.2KD, 45KD, 35KD, 25KD

بررسی فعالیت آنزیمی: رقت های مختلف از هر دو فرم آنزیم به ۱۰ skim milke درصد که در بافر فسفات ۵۰ میلی مolar و کلرید کلسیم ۲۵ میلی مolar حل شده بود اضافه گردید و در دمای ۳۷ درجه به مدت ۲ ساعت قرار داده شد. رسو ب در ته ویال ها جمع گردید همانگونه که در شکل ۶

محیط مناسبی برای تولید انواع پروتئین‌های انسانی و سایر پروتئین‌های پستانداران واجد اسید آمینه سیستم می‌باشد.

DsbC *E. coli* Protein disulfide isomerase نامیده می‌شود و اکسیداسیون باندهای دی‌سولفیدی را بر عهده دارد و PPIase که ایزومریزاسیون باندهای pro-X- را کاتالیز می‌نماید، پروتئین‌هایی هستند که امکان تاب خوردگی *E. coli* صحیح پروتئین بیگانه را در فضای پرپلاس فراهم می‌نمایند. [۱۴ و ۱۵ و ۱۶].

با توجه به خصوصیات فوق فضای پرپلاسمی باکتری *E. coli* BL21 مکان مناسبی برای تولید پروتئین می‌باشد بنابراین در این تحقیق سعی شد با انتخاب وکتور مناسب و سیگنال مقادیر زیاد پروتئین تولید و به پرپلاسم هدایت گردد. همچنین میزان بیان و فعالیت فرم فاقد اگزون ۶ بررسی گردید. میزان تولید فرم پردازش یافته ۷ برابر فرم کامل بود. علت این افزایش بیان بدین ترتیب توضیح داده شد: اگزون ۶ دارای ۳۸ اسید آمینه می‌باشد که ۱۲ تای آن‌ها بشدت و ۱۷ تای دیگر بمیزان کمتری آب‌گزیر می‌باشند. یکی از عوامل مهم در تعیین میزان بیان پروتئین‌های یوکاریوتی در میزان‌های باکتریایی، طبیعت هیدروفوبیک پلی پیتید می‌باشد. گزارش‌هایی وجود دارد مبنی بر آنکه تعویض اسیدهای آمینه هیدروفوب با اسیدهای آمینه خنثی موجب افزایش بیان در باکتری‌ها می‌گردد.

فرم پردازش یافته و کامل پروکیموزین بعد از شوک اسمزی و در شرایط متفاوت از قبیل کاهش دما (در دمای ۳۰ درجه سانتی‌گراد) و کاهش میزان IPTG (در غلاظت نیم میلی‌مolar) بررسی شدند و در فضای پرپلاسمی مشاهده نشدند بنابراین سیگنال pelB قادر به هدایت هیچ یک از این دو به پرپلاسم نیست. از آنجاکه در مطالعات اولیه و با استفاده از نرم افزار P signal ترشحی بودن پروتئین بررسی شده بود و در نهایت نتایج متفاوتی حاصل شد باید در استفاده از این برنامه دقت لازم صورت گیرد. اما اتصال این سیگنال باعث افزایش حلایت پروتئین گردید و در سانتریفیوژ با سرعت زیاد میزان اینکلوژن بادی کاهش یافت و پروتئین در

پروتئاز سویه‌های قارچی در مقایسه با کیموزین، دارای نسبت قدرت لخته کنندگی به فعالیت پروتئازی پایین‌تری می‌باشد. این ویژگی در پنیرهایی نظیر پنیر ایرانی که دارای دوره رسیدگی می‌باشند موجب کاهش راندمان پنیر و تلخی آن می‌گردد. در ضمن پروتازهای قارچی دارای پایداری حرارتی بالایی هستند. این ویژگی در فرآیند پنیر سازی مطلوب نیست. در ضمن سویه‌های قارچی علاوه بر پروتئاز، سایر آنزیمهای به خصوص لیپاز را هم تولید می‌کنند که لیپاز سبب تجزیه چربی پنیر شده و موجب تندی آن می‌گردد.

باکتری گرم منفی *Escherichia coli* بعلت اطلاعات ژنتیکی شناخته شده و همچنین در دسترس بودن تعداد زیادی از ناقل‌های همسانه‌سازی و ناقل‌های بیانی و سویه‌های جهش یافته و امکان تولید مقادیر انبوه پروتئین نوترکیب استفاده از این میکرووارگانیسم برای تولید پروتئین سویه *E. coli* BL21 و *Lon* مشتقاتشان هستند و بطور طبیعی فاقد پروتازهای (پروتاز تجزیه کننده پروتئین‌های غیر طبیعی) و *OmpT* (پروتاز غشاء خارجی که پروتئین‌های حاصل از شکستن سلول‌ها را هضم می‌کنند) می‌باشند. سلول‌های فاقد این پروتازها، پروتئین‌های نوترکیب را بسرعت انباسته کرده و احتمال تجزیه تعدادی از پروتئین‌ها در طول تخلیص کمتر می‌باشد [۱۱ و ۱۲ و ۱۳]. بنابراین *E. coli* BL21 که از سیستم بیانی وابسته به T7RNA پلی مراز استفاده می‌کند، میزان مناسبی برای همسانه‌سازی و بیان ژن پروکیموزین تحت کنترل آغازگر (پرموتور) T7 می‌باشد.

پرپلاسم در مقابل سیتوپلاسم تنها ۴٪ از پروتئین‌های تام سلولی را شامل می‌شود. به علت محیط اکسید کننده پرپلاسم، محافظت پروتئینی در برابر پروتازهای سیتوپلاسمی، تشکیل انتهای آمینی صحیح در پروتئین نوترکیب تولید شده و اجتناب از ایجاد اینکلوژن بادی ناشی از بیان پروتئین نوترکیب در سیتوپلاسم این فضای نسبت به بیان سیتوپلاسمی ترجیح داده می‌شود. فضای پرپلاسمی باکتری *E. coli* به ویژه

- [3] Emtage JS, Angal S, Doel MT, Harris TJ, Jenkins B, Lilley G, Lowe PA. Synthesis of calf prochymosin (prorennin) in *Escherichia coli*. PNAS 1983; 80: 3671-3675.
- [4] Foltmann B. A review on prorennin and rennin. Coppt Rend Trav Lab Carlsberg 1966; 35: 143-231.
- [5] Foltman, B., 1987. General and molecular aspects of rennets. In: Fox PF, Editor. Cheese: Chemistry, Physics and Microbiology, Vol. 1. London: Elsevier, pp: 37-68.
- [6] Chitpinitiyol, S. and Crabbe, M.J.C. 1998. Chymosin and aspartic proteinase: review. Food Chem 61: 395-418.
- [7] Blundell TL, Andreeva N. X-ray analyses of aspartic proteinases. IV. Structure and refinement at 2.2 Å resolution of bovine chymosin. J Mol Biol 1991; 221: 1295-1309.
- [8] Zinovieva N., Muller M., and Brem G, Short communication: Identification and characterization of multiple splicing forms of bovine prochymosin mRNA. J Dairy Sci 2002; 85: 3476- 3479.
- [9] Moir D., Monod, M., Togni G, and Hube B. Molecular cloning and characterization of double- stranded cDNA coding for bovine chymosin, Gene (Amst.). 1982; 19: 127- 138.
- [10] Green ML. Advances in the microbiology and Biochemistry of cheese and fermented milk (Eds Davies, FL. and Law , BA.). Applied Science Publication. England. 1984; pp:1-34.
- [11] Hakki A, Uusitalo J, Bailey M, Pentila M, and Knowles JKC. A novel fungal expression system: secretion of active calf chymosin from the filamentous fungus *Trichoderma reesei*. Biotechnology 1989; 7: 596-603.
- [12] Hidaka M, Sasaki K, Uozumi T, and Beppu T. Cloning and structural analysis of the calf prochymosin gene. Gene 1986; 43: 197-203.
- [13] Housen G, Madsen MT, Harlow KW, Lonblad P, and Foltmann B. The primary structure and enzymatic properties of porcine prochymosin and chymosin. Int J Biochem Cell Bio. 1996; 28: 667-675.
- [14] Yang B., Tang B., Zhang S, and Yang K. Assisted refolding of recombinant prochymosin with the aid of protein disulphide isomerase. Biochem J 1994; 301: 17- 20.
- [15] Sorensen H.P, and Mortensen K.K, Advanced genetic strategies for recombinant protein expression in *Escherichia coli*. J Biotechnol. 2005; 115, 113- 128.
- [16] WEI C, Tang B, Zhang Y, and yang H. Oxidative refolding of recombinant prochymosin. Biochem J 1999; 340: 345-351.

رسوب وجود داشت و امکان تخلیض به روش غیر دناتوره فراهم گردید این مسئله باید در مراحل بعد بررسی گردد. بنابر این وکتور از لحاظ بیانی مناسب است ولی از نظر ترشحی مناسب نیست. د. رادامه طرح بهتر است زن مورد نظر بدون سیگنال ترشحی و با استفاده از آنزیم *NdeI* به جای *NcoI* در وکتور کلون گردد و یا سیگنال جدیدی طراحی گردد. حذف اگزون ۶ مانع تولید آنزیم فعال نمی‌شود این فرم از پروتئین در مقایسه با فرم کامل به میزان بیشتری تولید می‌شود.

تشکر و قدردانی

با تشکر از مرکز ملی ژنتیک بدلیل تامین هزینه‌های این طرح و مسئولان مجله کومش که در جهت هر چه بهتر شدن مقاله از هیچ کوششی دریغ نکردند.

منابع

- [1] Carey NH, Doel MT, Harris TJR, Lowe PA, and Emtage JS. A process for the production of a polypeptide. Patent: 1983; EP 0068691-A 29.
- [2] Danley DE, and Geoghegan KF. Structure and mechanism of formation of recombinant-derived chymosin. C. J Biol Chem 1988; 263: 9785-9789

Production of full length and splicing form of chymosin using pETexpression system in *E-coli* and investigation its enzyme activity and preplasmic secretion

M. Ahmadi Zeydabadi (M.Sc)¹ G. Ahmadian (Ph.D)^{*2}, R. Sorouri (Ph.D)³

1- Emam hossein university, Tehran, Iran.

2- Department of Molecular Genetic, National Institute of Genetic Engineering and Biotechnology Tehran Iran.

3- Zanjan University of Medical Sciences, Zanjan, Iran.

Introduction: Chymosin (Rennin EC 3.4.23.4) is an aspartyl proteinase (the major proteolytic enzyme in the fourth stomach of the unweaned calf) that is formed by proteolytic activation from zymogene prochymosin. The aim of his study was to produce the full length and splicing form of chymosin using pETexpression system in *E-coli* and to assay the activity of expressed enzyme and preplasmic secretion.

Materials and Methods: The sense primer F-prochy(+) (5'-ggggccatgGCTGAGATCACCAGGA) including NCOI restriction site). The anti sense R-prochy(-) (5'-ggcgccccgcGATGGCTTGGCCAGC -3') hybridizing to the C-terminal end of calf preprocymosin cDNA and contains an additional *Nol*I restriction site at its 5'-end . The cells were disrupted by sonication and proteins were purified by using Ni-NTA beads from Qiagen under native conditional. The preprocymosin and AS6 preprocymosin were activated at pH 4.7. The enzyme solutions were diluted 20-fold with 50 mM phosphate buffer.

Results: Sequencing data analysis showed that the exon six has been spliced out and, therefore the gene product is 114 bp shorter in length, both chymosin forms were expressed together in *E.coli*. Under the same expression conditions, at least AS6 preprocymosin was produced 7-fold high expression in comparison to a full-length recombinant chymosin. Following acid activation and neutralization, the purified fractions were tested in a qualitative milk clotting assay. The clotting activity of preprocymosin and exon6-less preprocymosin were comparable.

Conclusion: High expression of this alternatively expressed transcript in bacteria, and proper folding of the AS6 chymosin protein molecule in the absence of exon six are the two most important aspects distinguished in this research.

Keywords: Preprocymosin; Aspartyl proteinase; Alternatively spliced transcript; In vitro, *E.Coli*

* Corresponding Author. Fax: +98 21 44580395; Tel: +98 9124187608

ahmadian@nigeb.ac.ir